

06; 07

© 1990 г.

ИССЛЕДОВАНИЕ ВЛИЯНИЯ ГРАНИЦЫ ФОТОРЕФРАКТИВНОГО ПЬЕЗОКРИСТАЛЛА НА СТРУКТУРУ НАВЕДЕННЫХ ПОЛЕЙ ПРИ ЗАПИСИ ГОЛОГРАФИЧЕСКИХ РЕШЕТОК

С. М. Шандаров, В. М. Шандаров

При записи голографических решеток в фоторефрактивных кристаллах вблизи границ возможно существование неоднородных упругих и электростатических полей. В работе изучена структура таких полей для полуограниченных пьезокристаллов классов симметрии $3m$ и $4mm$ в случае, когда нормаль к границе совпадает с осью Y , а вектор решетки — с осью Z . Экспериментально исследована дифракция волноводных TE -мод планарного волновода $Ti : LiNbO_3 : Cu$ на сформированной в подложке голографической решетке, в результате чего получено подтверждение неоднородности наведенных упругих и электрических полей.

1. Как известно [1], в фоторефрактивных пьезокристаллах (ФРПК) наряду со статическими электрическими полями при записи голограмм наводятся упругие деформации. Вблизи границы ФРПК наведенные поля должны иметь более сложную структуру, чем в объеме, и удовлетворять электрическим и механическим граничным условиям. Например, в [2] показано, что у границы кристалла симметрии, имеющей нормалью ось Y , при записи голографических решеток (ГР) с вектором $k \parallel x_0$ должны существовать наведенные локализованные поля (НЛП), по структуре имеющие сходство с распределением упругих и электрических полей в волне Гуляева—Блюстейна. Авторами работы [3] экспериментально обнаружены периодические структуры, фотоиндуцированные на поверхности кристалла $Bi_{12}SiO_{20}$.

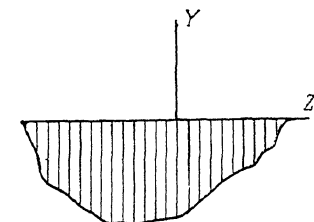


Рис. 1. Геометрия задачи.

НЛП могут играть существенную роль при записи ГР в планарных оптических волноводах, таких как $LiNbO_3 : Fe$, $LiTaO_3 : Cu$, $LiNbO_3 : Cu$ и др.

В настоящей работе рассмотрена структура наведенных полей ГР в Y -срезе полуограниченных пьезокристаллов симметрии $3m$ и $4mm$ и исследована дифракция волноводных мод планарной структуры $Ti : LiNbO_3 : Cu$ на ГР, сформированной в ней объемными световыми волнами.

2. Рассмотрим полуограниченный фоторефрактивный пьезокристалл, расположенный при $y \leq 0$ и граничащий с вакуумом (рис. 1). Предположим, что в нем создано распределение объемного заряда с плотностью

$$\rho = \rho^m \exp(-ikz), \quad y < 0, \quad (1)$$

где ρ^m — константа, $k = 2\pi/\Lambda$ — модуль вектора ГР k , Λ — период решетки.

Из уравнения непрерывности нетрудно показать, что такое распределение $\rho(y, z)$ может быть сформировано, например, при фотогальваническом механизме на начальном участке записи ($t \ll \tau_M$, τ_V — максвелловское время релаксации) картины интерференции двух плоских монохроматических слабозатухающих световых волн.

Будем исходить из уравнений электростатики

$$\frac{\partial}{\partial x_n} D_n = \rho \quad (2)$$

и эластостатики

$$\frac{\partial}{\partial x_j} T_{ij} = 0. \quad (3)$$

Компоненты вектора электрической индукции D_n и тензора упругих напряжений T_{ij} связаны с электрическим потенциалом φ и упругими деформациями U_{kl} уравнениями состояния [4]

$$T_{ij} = c_{ijkl}^E U_{kl} + e_{nij} \frac{\partial \varphi}{\partial x_n}, \quad (4)$$

$$D_n = e_{nkl} U_{kl} - \varepsilon_{np}^U \frac{\partial \varphi}{\partial x_p}, \quad (5)$$

где c_{ijkl}^E , e_{nij} , ε_{np}^U — компоненты материальных тензоров модулей упругости, пьезоконстант и диэлектрической проницаемости соответственно.

Подставляя T_{ij} из (4) и D_n из (5) в уравнения (2) и (3), учитывая симметрию тензоров \hat{c}^E , \hat{e} и $\hat{\varepsilon}^U$ по перестановке индексов и определение тензора деформаций, окончательно получим

$$c_{ijkl}^E \frac{\partial^2 U_k}{\partial x_j \partial x_l} + e_{nij} \frac{\partial^2 \varphi}{\partial x_n \partial x_j} = 0, \quad (6)$$

$$e_{nkl} \frac{\partial^2 U_k}{\partial x_n \partial x_l} - \varepsilon_{np}^U \frac{\partial^2 \varphi}{\partial x_n \partial x_p} = \rho. \quad (7)$$

Уравнения (6), (7) являются общими при сделанных допущениях и пригодны для любых кристаллов. Ограничимся далее рассмотрением кристаллов симметрии $3m$. Решение уравнений (6), (7) будем искать в виде

$$\varphi = \varphi^m \exp(\gamma' y) \exp(-ikz) + \varphi^0 \exp(-ikz), \quad (8)$$

$$U_k = U_k^m \exp(\gamma' y) \exp(-ikz) + U_k^0 \exp(-ikz), \quad (9)$$

где φ^0 , U_k^0 — константы, а γ' — постоянные затухания.

Подставляя φ и U_k из (8) и (9) в уравнения (6) и (7), учитывая вид тензоров \hat{c} , \hat{e} и $\hat{\varepsilon}$ для кристаллов симметрии $3m$ и приравнявая члены при одинаковых фазовых множителях, получим

$$\begin{aligned} & [\gamma^2 c_{11}^E + 2i\gamma c_{14}^E - c_{44}^E] U_2^m + [-\gamma^2 c_{14}^E - i\gamma(c_{13}^E + c_{44}^E)] U_3^m + \\ & + [\gamma^2 e_{22} - i\gamma(e_{31} + e_{15})] \varphi^m = 0, \\ & [-\gamma^2 c_{14}^E - i\gamma(c_{13}^E + c_{44}^E)] U_2^m + [\gamma^2 c_{44}^E - c_{33}^E] U_3^m + [\gamma^2 e_{15} - e_{33}] \varphi^m = 0, \\ & [\gamma^2 e_{22} - i\gamma(e_{15} + e_{31})] U_2^m + [\gamma^2 e_{15} - e_{33}] U_3^m + [\varepsilon_3^U - \gamma^2 \varepsilon_1^U] \varphi^m = 0, \\ & c_{44}^E U_2^0 = 0, \quad c_{33}^E U_3^0 + e_{33} \varphi^0 = 0, \\ & -e_{33} U_3^0 + \varepsilon_3^U \varphi^0 = \frac{\rho^m}{k^2}, \end{aligned} \quad (10)$$

где обозначено $\gamma = \gamma'/k$.

Из трех последних уравнений найдем

$$U_2^0 = 0; \quad U_3^0 = -\frac{e_{33}}{c_{33}^E} \varphi^0, \quad (11)$$

$$\varphi^0 = \rho^m [k^2 \varepsilon_3^U (1 + K_E^2)]^{-1}, \quad (12)$$

где $K_E = e_{33} (c_{33}^E \varepsilon_3^U)^{-1/2}$ — коэффициент электромеханической связи.

Система первых трех уравнений в (10) имеет нетривиальное решение при равенстве ее определителя нулю. Неизвестными комплексными величинами здесь являются постоянные затухания γ . Из шести корней уравнения, получающегося при приравнении определителя к нулю, физический смысл имеют три корня

с положительной действительной частью. При этом решения (8) и (9) будут удовлетворять условию конечности при $y < 0$.

Общее решение системы (10) с учетом (8), (9), (11) и (12) найдем в виде

$$U_2 = [C_1 a_{11}^{(1)} \exp(\gamma_1 ky) + C_2 a_{11}^{(2)} \exp(\gamma_2 ky) + C_3 a_{11}^{(3)} \exp(\gamma_3 ky)] \exp(-ikz), \quad (13)$$

$$U_3 = [C_1 a_{12}^{(1)} \exp(\gamma_1 ky) + C_2 a_{12}^{(2)} \exp(\gamma_2 ky) + C_3 a_{12}^{(3)} \exp(\gamma_3 ky) + U_0] \exp(-ikz), \quad (14)$$

$$\varphi = [C_1 a_{13}^{(1)} \exp(\gamma_1 ky) + C_2 a_{13}^{(2)} \exp(\gamma_2 ky) + C_3 a_{13}^{(3)} \exp(\gamma_3 ky) + \varphi^0] \exp(-ikz), \quad (15)$$

где C_1, C_2, C_3 — постоянные, подлежащие определению из граничных условий, а $a_{ik}^{(s)}$ — алгебраические дополнения элементов определителя первых трех уравнений системы (10), найденные при s -м значении корня γ_s ($s=1, 2, 3$).

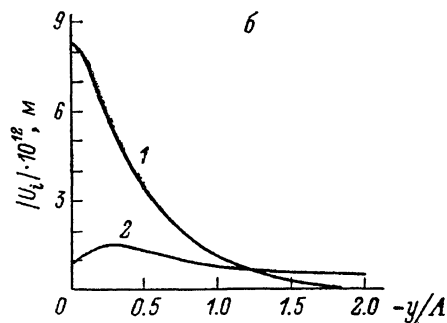
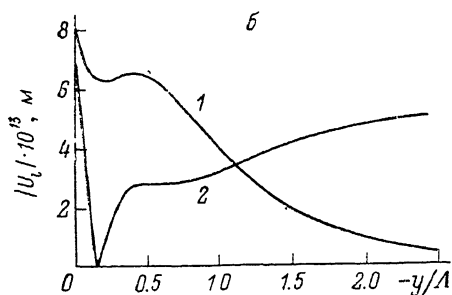
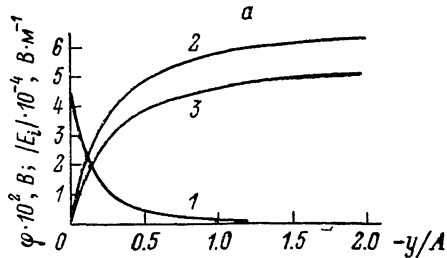
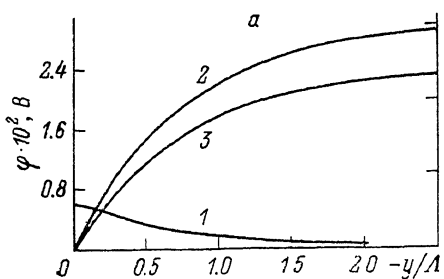


Рис. 2. Распределение наведенных полей в кристалле BaTiO₃.

а: 1 — $E_2(y)$, 2 — $E_3(y)$, 3 — $\varphi(y)$; б: 1 — $U_2(y)$, 2 — $U_3(y)$.

Рис. 3. Распределение наведенных полей в кристалле LiNbO₃.

а: 1 — $E_2(y)$, 2 — $E_3(y)$, 3 — $\varphi(y)$; б: 1 — $U_2(y)$, 2 — $U_3(y)$.

Для упругих напряжений на границе кристалла с вакуумом должны выполняться условия [4]

$$T_{22} = 0, \quad T_{23} = T_{32} = 0 \quad \text{при } y = 0. \quad (16)$$

Используя формулу (4) и учитывая вид материальных тензоров, из (16) получим

$$c_{11}^E \frac{\partial U_2}{\partial y} + c_{13}^E \frac{\partial U_3}{\partial z} - c_{14}^E \left(\frac{\partial U_3}{\partial y} + \frac{\partial U_2}{\partial z} \right) + e_{22} \frac{\partial \varphi}{\partial y} + e_{31} \frac{\partial \varphi}{\partial z} = 0 \quad \text{при } y = 0, \quad (17)$$

$$-c_{14}^E \frac{\partial U_2}{\partial y} + c_{44}^E \left(\frac{\partial U_3}{\partial y} + \frac{\partial U_2}{\partial z} \right) + e_{15} \frac{\partial \varphi}{\partial y} = 0 \quad \text{при } y = 0. \quad (18)$$

Граница кристалл—вакуум может быть электрически закороченной или электрически свободной. Рассмотрим электрически закороченную границу, при этом потенциал на ней ($y=0$) обращается в нуль

$$\varphi = 0 \quad \text{при } y = 0. \quad (19)$$

Подставляя в граничные условия (17)—(19) U_2, U_3, φ из (13)—(15), приходим к системе трех неоднородных линейных уравнений для C_1, C_2 и C_3 . Из нее они выражаются через ρ^{in} — заданную амплитуду решетки объемной плотности заряда. Отметим, что уравнения (10)—(12), (17)—(19) пригодны и для кристаллов симметрии $4mm, 6mm$, если в них положить $c_{11}^E = 0$ и $e_{22} = 0$.

3. Пользуясь изложенной методикой, мы провели расчеты структуры наведенных полей для LiNbO_3 и тетрагонального BaTiO_3 , принадлежащих соответственно к классам симметрии $3m$ и $4mm$. Значения постоянных затухания γ приведены в таблице. Зависимости амплитуд наведенных электрических полей φ , E_3 , E_2 и упругих смещений U_3 , U_2 от y/Λ для $\rho^m=10 \text{ Кл/м}^3$ и $\Lambda=10^{-5} \text{ м}$ представлены на рис. 2, 3.

Кристалл	γ_1	γ_2	γ_3
BaTiO_3	0.218	$0.653 - i0.539$	$0.653 + i0.539$
LiNbO_3	$0.352 - i0.020$	$1.287 - i0.874$	$1.135 + i0.651$

Как видно из рис. 2, 3, вблизи границы ФРПК структура наведенных полей носит сложный характер. В частности, появляются нормальные к границе компоненты U_2 и E_2 , в объеме кристалла равные нулю. Нормальная компонента вектора упругого смещения U_2 на границе $y=0$ отлична от нуля, т. е. имеют

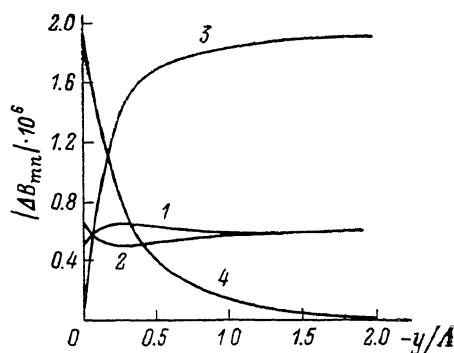
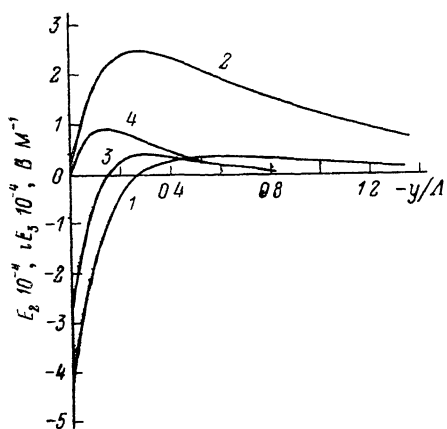


Рис. 4. Распределение наведенных полей в сильно поглощающем кристалле.

1 — E_2 ($2\alpha/k=0.2$), 2 — iE_1 ($2\alpha/k=0.2$), 3 — E_2 ($2\alpha/k=1$), 4 — iE_3 ($2\alpha/k=1$).

Рис. 5. Распределение амплитуд $|\Delta B_{mn}|$ для YZ-ориентации LiNbO_3 .

1 — $|\Delta B_{11}|$, 2 — $|\Delta B_{22}|$, 3 — $|\Delta B_{33}|$, 4 — $|\Delta B_{23}|$.

место периодические искривления поверхности кристалла. Дифракция света на такой поверхностной структуре, фотоиндуцированной в кристалле $\text{Bi}_{12}\text{SiO}_{20}$, наблюдалась авторами работы [3]. По структуре рассмотренные НЛП близки к трехпарциальной волне Рэлея.

4. Если ФРПК сильно поглощает записывающие ГР плоские световые волны, то ρ^m уже не является константой и для $\alpha \ll k$ будет изменяться по экспоненциальному закону

$$\rho^m = \rho^0 \exp(\alpha y). \quad (20)$$

В пренебрежении пьезоэффектом для этого случая нами были получены следующие выражения для E_2 и E_3 при электрически закороченной границе:

$$E_2 = - \frac{\rho^0}{\epsilon_2' \left(a^2 - k^2 \frac{\epsilon_3'}{\epsilon_2'} \right)} \left[\alpha (\exp(\alpha y)) - \left(\frac{\epsilon_3'}{\epsilon_2'} \right)^{1/2} k \exp \left(\sqrt{\frac{\epsilon_3'}{\epsilon_2'}} ky \right) \right] \exp(-ikz), \quad (21)$$

$$E_3 = - \frac{ik\rho^0}{a^2 \epsilon_2' - k^2 \epsilon_3'} \left[\exp(\alpha y) - \exp \left(\sqrt{\frac{\epsilon_3'}{\epsilon_2'}} ky \right) \right] \exp(-ikz). \quad (22)$$

Зависимости E_2 и E_3 от y/Λ для различных значений a/k приведены на рис. 4. Характерно, что нормальная компонента поля E_2 при некотором y/Λ изменяет знак.

5. Наведенные в ФРПК электрические и упругие поля модулируют тензор диэлектрической непроницаемости B_{mn} вследствие электрооптического и фотоупругого эффектов [4]

$$\Delta B_{mn} = r_{mnp}^i E_p + p_{mkl}^E U_{kl}, \quad (23)$$

где r_{mnp}^i и p_{mkl}^E — электрооптические и фотоупругие постоянные ФРПК. Распределения амплитуд $|\Delta B_{mn}|$ для рассмотренной выше YZ -ориентации LiNbO_3 представлены на рис. 5. Зависимость ΔB_{mn} от координаты y при конечных размерах кристаллов вдоль нее, сравнимых с периодом решетки Λ , приведет к количественным изменениям эффективности дифракции света на голограмме.

Качественные отличия НЛП состоят в появлении дополнительных компонент тензора ΔB_{mn} , отсутствующих в объемных полях, и в наличии фазовых сдвигов в распределениях ΔB_{mn} вблизи границы ФРПК относительно аналогичных распределений в объеме при $y \gg \Lambda$. Например, из рис. 5 следует, что наряду с ΔB_{33} , ΔB_{22} и ΔB_{11} вблизи границы $y=0$ существует недиагональная компонента ΔB_{23} . Ее наличие может привести к аномальной дифракции световых волн с поворотом плоскости поляризации на данной ГР. Без учета НЛП $\Delta B_{23}=0$, такая дифракция «запрещена». Расчеты показывают также, что решетка ΔB_{23} сдвинута по фазе относительно решеток ΔB_{33} , ΔB_{11} и ΔB_{22} , существующих в глубине кристалла, примерно на $\pi/2$. Вблизи границы $y=0$ амплитуды ΔB_{33} , ΔB_{22} и ΔB_{11} являются комплексными и сдвинуты по фазе относительно своих значений в объеме среды. Отсюда следует, что НЛП обуславливают еще один механизм возникновения фазового сдвига между ГР и формирующими ее световыми полями, приводящего к стационарному энергообмену между последними [5]. Ранее это отмечалось в работе [2].

6. Возникновение НЛП при записи объемной ГР у границы фоторефрактивного пьезокристалла изучалось по дифракции на решетке волноводных TE -мод. Планарный оптический волновод сформирован на подложке Y -среза $\text{LiNbO}_3 : \text{Cu}$ (0.005 вес. %) диффузией титана из пленки толщиной ~ 20 нм при температуре 1000°C . Время диффузии составило 4 ч, при этом в волноводе на длине волны $\lambda=0.63$ мкм в направлении оси X могли распространяться две и на $\lambda=0.44$ мкм четыре TE -моды. По спектру эффективных показателей преломления TE -мод на длине волны 0.44 мкм определены параметры профиля показателя преломления волновода, который хорошо аппроксимировался функцией $\text{ch}^{-2}y$ [6].

Запись объемной ГР в волноводной структуре, у которой толщина подложки (~ 2 мм) существенно превышала толщину волноводного слоя (~ 2.5 мкм), осуществлялась двумя пучками света с апертурой 3 мм от гелий-кадмиевого лазера ($\lambda=0.44$ мкм). Угол Θ между пучками составлял $\sim 10^\circ$, его биссектриса совпадала с осью Y , а вектор ГР K ориентировался параллельно оси Z кристалла. Время записи τ в экспериментах колебалось от 20 до ~ 200 с. Специальных мер по закорачиванию границы $Y=0$ для выполнения условия (19) не принималось.

Как известно, при диффузии титана в ниобат лития его фоторефрактивные свойства, упругие, диэлектрические, электрооптические и фотоупругие постоянные существенно не изменяются. Поэтому распределения возмущений тензора $\Delta\epsilon$, возникающих при записи ГР объемными волнами в образце $\text{LiNbO}_3 : \text{Cu}$ с волноводным слоем $\text{Ti} : \text{LiNbO}_3 : \text{Cu}$, будут практически такими же, как и в аналогичном образце $\text{LiNbO}_3 : \text{Cu}$, поверхностный слой которого не легирован титаном. Однако изучение дифракции различных волноводных мод на обусловленных объемной решеткой в пределах волноводного слоя возмущениях $\Delta\epsilon$ позволяет обнаружить неоднородность распределения $\Delta\epsilon(y)$ вблизи границы кристалла $y=0$.

После записи ГР объемными световыми волнами изучалась дифракция на ней волноводных TE -мод на длине волны $\lambda=0.63$ мкм. При этом ввод и вывод изучения осуществлялся длящими из GaP.

В экспериментах наблюдались как обычные дифракционные процессы (TE_0-TE_0 , TE_1-TE_1), так и межмодовая дифракция (TE_0-TE_1 , TE_1-TE_0). Эффективность дифракции η зависела от времени записи и составляла 25 % (процесс TE_0-TE_0); 34 % (TE_1-TE_1); 2 % (TE_0-TE_1) для $\tau=20$ с. При $\tau=180$ с эффективность дифракционного процесса TE_0-TE_0 возросла до 50 %, TE_0-TE_1 — до 20 %.

Эффективность волноводной дифракции, как известно [7], зависит от величины перекрытия полей волноводных мод с возмущающим полем и определяется величиной интеграла перекрытия

$$\Gamma_{mn} = \frac{\left[\int_{-\infty}^{\infty} E_m(y) \Delta \varepsilon(y) E_n(y) dy \right]^2}{\left[\int_{-\infty}^{\infty} E_m^*(y) E_m^*(y) dy \right] \left[\int_{-\infty}^{\infty} E_n(y) E_n^*(y) dy \right]}, \quad (24)$$

где $E_{m, n}(y)$ — распределения полей взаимодействующих мод, $\Delta \varepsilon(y)$ — распределение амплитуды возмущения диэлектрической проницаемости по толщине волновода.

В случае однородного по толщине волновода возмущения $\Delta \varepsilon(y) = \text{const}$ из (24) следует, что для дифракционных процессов с участием одинаковых мод ($m=n$) величина интеграла перекрытия не зависит от номера моды. Межмодовая дифракция при $\Delta \varepsilon(y) = \text{const}$ вследствие ортогональности мод разного порядка запрещена ($\Gamma_{mn} = 0$). При неоднородности возмущения $\Delta \varepsilon(y)$ по толщине волновода $\Gamma_{mm} \neq \Gamma_{mm}^*$, а $\Gamma_{mn} \neq 0$.

В численных расчетах интегралов перекрытия распределение полей волноводных мод аппроксимировалось гиперболическими функциями [6], а распределения $\Delta \varepsilon(y)$ выражались через возмущения диэлектрической непроницаемости ΔB_{33} (рис. 5). Значения интегралов перекрытия составили $\Gamma_{00} = 0.74$, $\Gamma_{11} = 0.88$, $\Gamma_{10} = 0.0026$.

7. Анализ расчетных и экспериментальных результатов показывает, что для малых времен записи отношение η_{00}/η_{11} хорошо согласуется с отношением Γ_{00}/Γ_{11} . Однако эффективность дифракции с преобразованием мод η_{01} существенно превышает оцениваемую по значению интеграла перекрытия Γ_{01} . Эффективная межмодовая дифракция и отличие η_{00} от η_{11} свидетельствуют, как отмечалось выше, о неоднородности распределения $\Delta \varepsilon(y)$ и подтверждают существование НЛП вблизи границы ФРПК. Количественное несоответствие теории с экспериментом для процесса TE_0-TE_1 может быть связано с недостаточно малым временем записи объемной ГР, отсутствием проводящего слоя на границе $y=0$, а также с неоднородностью физических свойств кристалла, вносимой волноводным слоем.

Отметим, что при увеличении времени записи распределение $\Delta \varepsilon(y)$ становится еще более неоднородным (отношение η_{01}/η_{00} возрастает), что обусловлено существенным влиянием НЛП на кинетику формирования объемной ГР для $\tau \sim \tau_M$.

8. Проведенные исследования показывают, что вблизи границы ФРПК структура электрических и упругих полей ГР существенно отличается от распределения наведенного объемного заряда. Это обстоятельство необходимо учитывать, например, при анализе записи ГР в планарных оптических волноводах волноводными модами. НЛП, формирующиеся и в планарных структурах, могут обусловить стационарный энергообмен между записывающими ГР световыми пучками. Поэтому представляется возможным использование рассмотренных эффектов для усиления слабых световых пучков в оптических волноводах при реализации планарных аналогов рассмотренных в [8] голографических лазеров и в других устройствах динамической голографии.

Формирование НЛП может приводить и к уменьшению фоторефрактивной нелинейности ограниченных ФРПК. Например, для $y > \Lambda$ амплитуда возмущений компоненты ΔB_{33} будет существенно меньше, чем в объеме кристалла (рис. 5), при однородном распределении амплитуды объемного заряда ρ^n .

Отсюда следует, что эффективность дифракции необыкновенно поляризованных волн на объемной ГР с постоянной амплитудой ρ^m будет снижаться при периодах Λ , превышающих толщину ФРПК.

Список литературы

- [1] *Иванов А. А., Мандель А. Е., Хатьков Н. Д., Шандаров С. М.* // Автометрия. 1986. № 2. С. 79—84.
- [2] *Шандаров С. М.* // ЖТФ. 1986. Т. 56. Вып. 3. С. 583—586.
- [3] *Близнецов А. П., Петров М. П., Хоменко А. В.* // Письма в ЖТФ. 1984. Т. 10. Вып. 18. С. 1094—1098.
- [4] *Сиротин Ю. И., Шаскольская М. П.* Основы кристаллофизики. М.: Наука, 1975.
- [5] *Винецкий В. Л., Кухтарев Н. В., Одулов С. Г., Соскин М. С.* // УФН. Т. 129. № 1. С. 131—137.
- [6] *Брежовских Л. М.* Волны в слоистых средах. М.: Изд-во АН СССР, 1957.
- [7] *Яковкин И. Б., Петров Д. В.* Дифракция света на акустических поверхностных волнах. Новосибирск: Наука, 1979.
- [8] *Одулов С. Г.* // Квантовая электрон. 1984. Т. 11. № 3. С. 529—536.

Томский институт
автоматизированных систем управления
и радиоэлектроники

Поступило в Редакцию
25 февраля 1988 г.
В окончательной редакции
28 ноября 1988 г.